

桥 梁 锌 接

C·A·奥斯特罗夫斯卡娅

合著

C·П·曼德里別尔格

人民鐵道出版社

桥 梁 錄 接

C·A·奧斯特羅夫斯基 合著
C·I·曼德里別爾格
李利庚 許乃武 合譯

人 民 鐵 道 出 版 社

一九五七年·北京

本書介紹蘇聯製造橋梁時採用焊接的方法，其主要內容闡明對焊縫質量和焊接材料質量的要求，研究在工廠和工地條件下橋梁的拼裝與焊接工藝，敘述焊接設備的裝置與使用原則，並列舉若干整體焊接橋梁裝配焊接的实例。

本書可供鐵路及公路橋梁、鋼結構製造及電焊方面工作的科學工作者及工程技術人員作參考之用。

橋 梁 焊 接

СВАРКА ПРОЛЕТНЫХ СТРОЕНИЙ МОСТОВ

С·А·ОСТРОВСКАЯ 合著
С·Л·МАНДЕЛЬБРГ

烏克蘭蘇維埃社会主义共和国科学院出版社（1955年基辅俄文版）
ИЗДАТЕЛЬСТВО АКАДЕМИИ НАУК УКРАИНСКОЙ ССР

КИЕВ—1955

李利庆 許乃武 合譯

責任編輯 王育泉

人 民 鐵 道 出 版 社 出 版

（北京市霞公府17号）

北京市書刊出版業營業許可證出字第010號

新 华 書 店 發 行

人民鐵道出版社印刷厂印刷

（北京市建国門外七聖廟）

書號：803 开本850×1168 $\frac{1}{2}$ 印張6 $\frac{1}{2}$ 字数175千

1957年8月第1版

1957年8月第1版第1次印刷

印数0001—980册 定价(10)1.20元

目 录

序言

第一篇 桥梁的工厂焊接

| | |
|-------------------------|-----|
| 第一章 熔剂下焊接的概論 | 2 |
| §1. 桥梁制造中採用的电弧焊接方法 | 2 |
| §2. 焊縫形成過程的實質及形成的条件 | 4 |
| §3. 施焊狀況对焊縫的形狀及組成的影响 | 9 |
| §4. 熔剂下焊接时电、热及冶金的过程 | 19 |
| 第二章 对焊縫及焊連接質量的要求 | 25 |
| §1. 焊縫的机械性能 | 27 |
| §2. 焊接时的缺陷及其消除方法 | 35 |
| 第三章 制造焊接桥梁用的材料 | 64 |
| §1. 焊接桥梁鋼 | 64 |
| §2. 自动及半自动焊接用的熔剂 | 74 |
| §3. 电焊芯綫及焊条 | 78 |
| 第四章 拼裝和焊接桥梁的設備 | 80 |
| §1. 拼裝和焊接桥梁構件的設備 | 81 |
| §2. 焊接机具 | 93 |
| §3. 电弧的供电电源 | 105 |
| §4. 附屬设备及机具 | 109 |
| 第五章 桥梁構件的拼裝和焊接工艺 | 113 |
| §1. 对接連接焊前的拼裝和焊接 | 114 |
| §2. 角接連接焊接前的拼裝和焊接 | 126 |
| §3. 結束工作 | 139 |

第二篇 桥梁的装配焊接

| | |
|-------------------------|-----|
| 概論 | 141 |
| 第六章 强制形成的豎焊縫的焊接特点 | 143 |
| §1. 豎焊縫自动焊接过程的示意圖及特点 | 143 |
| §2. 豎焊縫的晶化与性質上的特点 | 146 |
| §3. 整体焊接桥梁豎焊縫焊接所用的机具与設備 | 149 |
| 第七章 整体焊接桥梁裝配連接的拼裝与焊接工艺 | 152 |
| §1. 工形鋼梁翼緣拼接的熔剂下自动焊接 | 154 |
| §2. 整体焊接桥梁对接豎焊縫的自动焊接 | 159 |
| §3. 裝配桥梁时的熔剂下半自動焊接 | 166 |
| §4. 裝配整体焊接桥梁时的露弧手焊 | 168 |
| §5. 焊接对装配的工作組織与方法所提出的要求 | 168 |
| 第八章 整体焊接桥梁裝配焊接的实例 | 172 |
| §1. 兩孔整体焊接铁路桥梁的装配与焊接 | 172 |
| §2. 公路桥的装配与焊接 | 177 |
| §3. 大跨度城市桥梁的装配与焊接 | 178 |

第三篇 質量檢查及驗收

| | |
|-----------------|-----|
| 第九章 質量的檢查与結構的驗收 | 185 |
| §1. 原材料及焊接机具的檢查 | 185 |
| §2. 焊縫質量的專門試驗 | 192 |
| §3. 按工序的檢查及驗收 | 202 |
| §4. 編制桥梁方面的文件 | 210 |
| 参考文献 | 212 |
| 譯名对照表 | 215 |

本書為紀念亲爱的导师
E. O. 巴頓而作
作者

序 言

制造鋼橋時採用鉗接的方法可以节省很多鋼料和減少勞動量。我國生產部門擁有製造和裝配鉗接橋梁的經驗，然而這些經驗還沒有被充分地系統化和總結出來。

本書總結了在鉗接橋梁的工廠製造及裝配事業中由研究機構和生產部門所积累起來的經驗。書中廣泛利用巴頓電鉗研究所、莫洛托夫橋梁及鋼結構工廠、交通部橋梁工廠、交通部橋梁研究所、奧爾斯基鋼結構工廠和交通部架橋機構的經驗。

本書供橋梁廠和架橋機構的工程技術人員及橋梁設計人員之用。作者認為，書中闡明的資料對製造和裝配其它重要鋼結構的工廠和機構的工作人員也很有益。

作者以真誠感激的心情紀念自己的導師——葉甫蓋尼·奧斯卡洛維奇·巴頓，由於他的倡議和在他的指導下寫作了本書。只有在葉·奧·巴頓所完成的綜合而且科學地研究自動鉗接與鉗接橋梁問題的基礎上，鉗接橋梁在我國的發展才成為可能。

在準備手稿付印時，考慮了Б.И. 別辽也夫、Д.П. 列別捷等工程師，Г.В. 拉也夫斯基、И.А. 塔拉什曼諾夫、В.В. 謝維爾尼茨基、В.Ю. 石世金等技術科學付博士和С.А. 齊姆巴黎斯特工程師所提出的寶貴意見，對此，作者向他們深致謝意。

第一、二、三、四、五章是С.А. 奧斯特羅夫斯卡婭寫的，第六、七、八章是С.Л. 曼德里別爾格寫的，第九章是兩人合寫的。

作 者

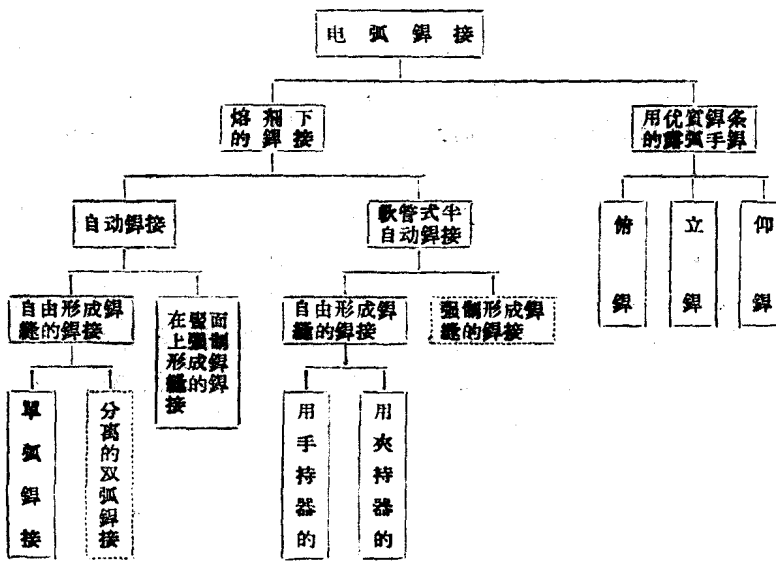
第一篇 桥梁的工厂焊接

第一章 熔剂下焊接的概論

§1. 桥梁制造中採用的电弧焊接方法

现今在大部分机械制造部門、运输及建築工業部門採用电弧焊接是將鋼料連成整体的主要方法。电弧焊接是俄国偉大的發現，这是由俄国的学者和發明家—院士 B.B. 彼得罗夫及工程师 H.H. 别那尔道斯和 H.G. 司拉汉諾夫的劳动所創造成的。从所有各式各样的电弧焊接方法里，在桥梁制造中，实际採用的有如下圖所列数种。

桥梁制造中採用的电弧焊接方法分类圖



圖中用虛線標誌的鉗接方法目前尚在試驗研究和試用中。

在鉗接橋梁的生產中，熔劑下的鉗接佔着主要的地位。1940年烏克蘭蘇維埃社会主义共和国科学院电鉗研究所在院士 E. O. 巴頓的領導下改进了 H.H. 別那爾道斯和 H.G. 司拉汉諾夫所提出的方法，研究出了熔剂下鉗接方法的目前形式。最初創造的而在工業上获得採用的是在熔剂下自由形成鉗縫的單弧鉗接法。这种方法保証能够鉗接各种俯位鉗縫及对水平面有 7° 以下的角鉗縫。在桥梁制造厂內这种方法常用来鉗接翼緣和复板的全部对接縫、主桁架的構件、板梁的翼緣鉗縫、翼緣板束的搭接縫以及加鉗橫加勁肋的鉗縫。在工地拼裝中，熔剂下鉗接的自动电鉗机常用来鉗接俯位对接縫。

自動鉗接的应用范围常受到結点構造、鉗縫長度和鉗縫在空間位置的限制。例如，对短的角接縫或在自动电鉗机不能自由行动情况下的角接縫（如鉗接豎加勁肋时），採用自动鉗接是不合理的。当鉗縫位于豎面上时也不可能採用自动电鉗机在熔剂下自由形成鉗縫的鉗接。这样就必須要研究新的熔剂下鉗接方法了。

烏克蘭电鉗研究所 T.3. 沃洛什凱維奇，在E.O.巴頓的領導下，創造了自動鉗接豎鉗縫的方法，鉗縫是强制形成的。工地拼裝橋梁时，这种方法在鉗接腹板的对接縫上，得到了广泛的应用。在最近几年內烏克蘭电鉗学院和『电工』工厂的工作人员創造了另一种新的鉗接方法，它已被推行在生产中。这种方法，叫做軟管式半自動鉗接法，它也是在熔剂下鉗接的。在工厂內制造及在工地拼裝橋梁时，用这种方法鉗接加勁肋、結点板、联結系及其它不能用自动鉗接法鉗接的短鉗縫。

在工厂內只有很少的一部分工作採用露弧手鉗，例如：不在俯位的鉗縫，不可能或不宜採用軟管式鉗接法鉗接的俯位鉗縫。在工地拼裝时，露弧手鉗用来鉗接仰位鉗縫及豎面上的角鉗縫。

熔剂下自由形成焊缝的单弧自动焊接法可以提高生产率和焊缝质量；现在已有简单而可靠的设备，可以用来达到这一目的。因此，在设计和制造桥梁时，设计和施工人员应尽量设法使这种焊接方法得到最大的利用。

经验证明，当工艺过程组织的正确和桥梁的结构合理时，在工厂内采用熔剂下焊接的工作量可以达到全部焊接量的90%。

§2. 焊缝形成过程的实质及形成的条件

熔剂下的焊接与露弧焊接比较有本质上的不同，这个不同在于焊接处（熔化范围）为散体的熔剂所复盖，电弧在熔化了的熔剂（熔渣）所形成的弹性壳下燃烧。熔剂起到很好的复盖作用，它保证电弧与周围大气之间有一极完全的隔离层，因此几乎完全消灭溅钢现象。使用没有药皮的电焊芯线可以使导电处更接近焊条端部，焊条的伸出长度（从供电处到焊条端部的距离）约等于15~60公厘（视焊条的直径大小而定）。

因为没有溅钢的现象和焊条通电部分长度的显著减少，这样就有可能将焊条上的电流密度和电流的绝对值提高数倍。各种焊接方法所用的电流绝对值及密度可以从表1中所列举的资料得一比较。

表1

| 焊条直径 (公厘) | 露弧手焊 | | 熔剂下的焊接 | |
|--------------|-------------|-------------------|-------------|-------------------|
| | 电 流 (安培) | 电流密度 (安培/平方公厘) | 电 流 (安培) | 电流密度 (安培/平方公厘) |
| 5 | 195~350 | 10~17 | 700~1000 | 35~50 |
| 4 | 125~200 | 10~16 | 500~800 | 40~63 |
| 3 | 80~130 | 11~18 | 350~600 | 50~85 |
| 2 | 50~65 | 16~20 | 200~400 | 63~125 |

采用散体熔剂代替焊条药皮的结果引起了电弧焊接工艺上很大的变化。新焊接法与露弧焊接法比较，前者具有下列优点：

1. 鋼縫鋼和鉗連接的質量增高。
2. 生產率提高 3 ~ 10 倍。這首先是由於鉗條上應用強大的電流和電流密度增加的結果。
3. 電鉗芯線和電能消耗量減少。這是由於在濺鋼和灰渣上的損失減少以及在鋼縫鋼中鉗條鋼的成分減少的結果。
4. 勞動條件的改善。因為再沒有必要來保護鉗工的眼睛和臉，同時析出的氣體數量也顯著減少。

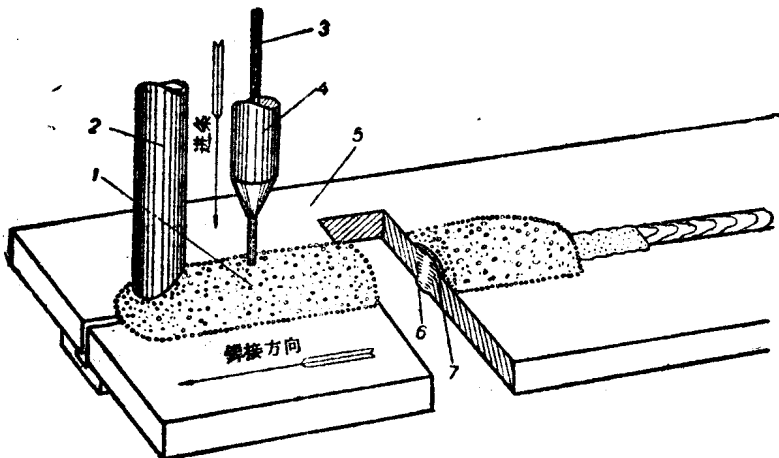


圖1. 熔劑下鉗接的示意圖：

1——熔劑； 2——傳送熔劑； 3——電鉗芯線； 4——導鉗接
電流處； 5——基本鋼； 6——鉗縫； 7——熔渣壳。

圖1為在熔劑下鉗接的示意圖。電弧在鉗接工作物與電鉗芯線之間燃燒；工作物接通電源的一極，另一極接電鉗芯線。熔劑從漏斗中散落在工作物上。

電弧熔化基本鋼、電鉗芯線及接近熔化範圍的熔劑而形成熔池。隨著鉗縫的形成，電鉗芯線由芯線盤送至鉗接區間（利用專門的機械設備），而電弧沿着工作物移動。

自動鉗接時，利用自動電鉗機的轉動機械使電弧沿工作的移動；半自動鉗接時，電弧的移動用手進行。電弧漸漸移去後，熔

池內的銅液开始硬化，鋸縫連接了工作物的邊緣。部分熔剂形成熔渣壳，在鋸縫冷却后極易除去。

根据實驗資料，在熔剂下鋸接时，鋸縫形成的过程可以用圖2表示。

电弧在鋸条端部和在基本鋼表面上形成不大的熔池之間燃燒。熔化了的熔剂形成气泡及彈性壳，彈性壳使熔化范围和空气隔離。

在熔化范围內的蒸汽及气体产生足够的压力阻止彈性壳的下沉。当鋸条沿鋸縫移动时，弧柱向后傾斜，偏向于在基本鋼上白熾点的一方。被熔剂層压縮而集中的电弧深深地熔化着基本鋼，鋼液被压向后方，因而电弧就压进鋼的深处。

随着电鋸机的轉动压进深处的电弧熔化着前部未熔化的鋼。熔化了的鋸条鋼以細顆粒的形式落在熔池中，而与基本鋼相混合。

鋸縫形成过程假定可以分为兩個阶段：

1. 熔化基本鋼及形成熔池。熔池的形成是部分熔化了的基本鋼向后方挤出的結果。

2. 基本鋼和鋸条鋼的混合鋼液充满熔池。熔池由形成到充满相間隔的时间根据施鋸狀況而定。

随着电弧移去，鋸縫鋼便开始結晶的过程。熔池分層进行硬化。最后硬化的是复蓋熔池表面的熔渣，这样就推迟了熔池表面的硬化。

前面已經指出，熔剂下燃燒着的强大电弧压进鋼的深处，因此而达到连接的熔透。有一系列的假設，用以說明电弧压进鋼的深处以及火口形成的現象。形成火口最可能的原因應該認為是存

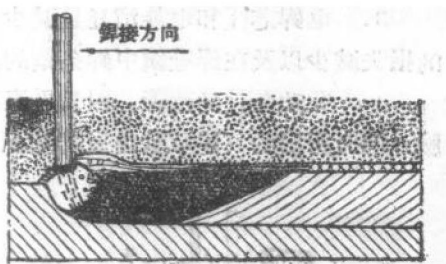


圖2. 鋸接区域的縱剖面示意圖。

在电弧压力的緣故，这种压力是由于帶电荷的微粒对鋼液表面彈性打击的結果。

因为帶电荷的微粒获得的动能与电弧电流大小成正比，因此，电弧压力及熔透深度也与电流成正比。电弧压力决定基本鋼料的熔透深度。熔透寬度依弧柱基部对熔池表面的移动而定，这种移动叫电弧的『徘徊』。在同样电流的情况下，弧柱愈長及鋸条端部析出的能量愈少，电弧的徘徊將愈大。电弧徘徊的幅度愈大，熔透的寬度也愈大；否則相反。

鋸条鋼以細顆粒的形式落入熔池。細顆粒脫离鋸条是由于地心引力、电动力、鋸条端部鋼的沸騰和由于沸騰而析出的氧化炭的作用、以及电弧压力和电磁力的影响。

結晶了的鋸縫有如鑄鋼的組織。树枝狀的組織是鋸縫的一个特征。熔池高速硬化的結果促使結晶質內枝狀液析增加而帶狀液析削弱。熔剂下鋸接的鋸縫中結晶厚度变化在几百分之一到几十分之一公厘之間，在普通施鋸狀況下这种結晶体的厚度大大超过手鋸鋸縫的結晶厚度。变更鋸縫的形狀可以改变柱狀結晶体的方向及有害杂质可能偏集区的分佈。

在極大的程度內鋸連接的宏观和微观組織可以确定鋸縫鋼及鋸連接的机械性質。宏观組織即用酸腐蝕后在鋸縫斷面上显现出来的組織。用肉眼研究宏观組織可以决定熔透形狀、初次結晶的特征（方向及結晶体的大小）及在鋸縫內存在着的宏观缺陷（不熔透、边缘不熔和、裂紋、气泡及夾渣）。微观組織即在显微鏡下显现出来的組織。研究微观組織可以更詳細地确定初次結晶的組織、相的轉化特征、各种組織成分的存在和分佈以及裂紋的分佈。

鋸連接的結晶組織。鋸連接的宏观組織的特征之一是鋸縫的存在，它有柱狀構造，这在用酸腐蝕后可以用肉眼看出来；另一特征是鄰接鋸縫区域的存在，在磨制斷面上呈帶狀，它橫亘在鋸縫与基本鋼之間，寬度大小不定。

圖3及圖4表示具有單層鉗縫的鉗連接的結晶組織；圖5表示具有多層鉗縫的鉗連接的結晶組織。

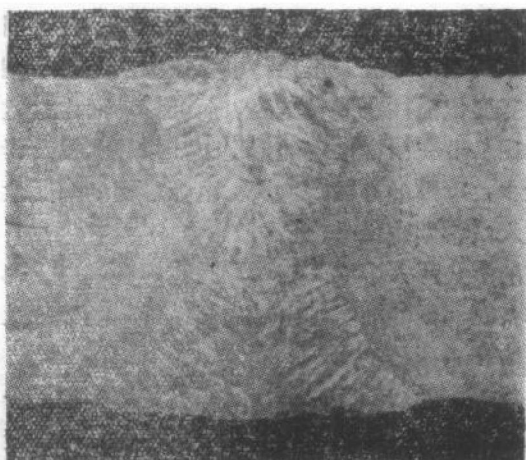


圖3. 双面单層对接鉗縫的宏观組織

鉗在低炭鋼上的鉗縫有珠狀純鐵體的微觀組織。珠光體狀態的構造如何由鉗縫冷卻的速度決定，這將在第二章內詳細說明。鄰接鉗縫區域一般有下列幾個結晶組織區：粗晶粒區；細晶粒區；鄰接基本鋼區（圖6）。

粗晶粒區（或過熱區）直接鄰接鉗縫鋼，在鉗接過程中這個區的溫度在 $1200\sim1520$ 的範圍內。冷卻時在這個區內形成具有費氏珠狀純鐵體組織的粗晶粒。同鉗縫一樣，晶粒的大小及珠狀鐵的構造由冷卻的速度決定。

細晶粒區包括所有加熱高於 A_{c_3} 點的鋼。這個區所受的溫度周期接近正常化。冷卻時奧氏體晶粒內形成珠狀純鐵體的細晶

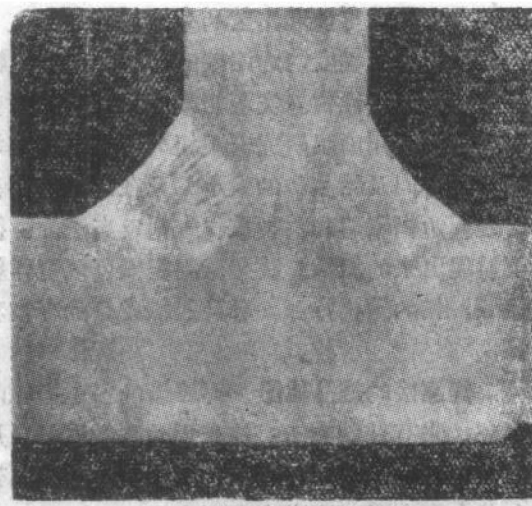


圖4. 單層角鉗縫的宏观組織

粒，即發生了晶粒的分裂。施焊状况对细晶粒区宽度大小有影响。单位長度的焊接能量愈大（即电流愈大而施焊速度愈小），

那末细晶粒区的边界距离焊缝愈远。

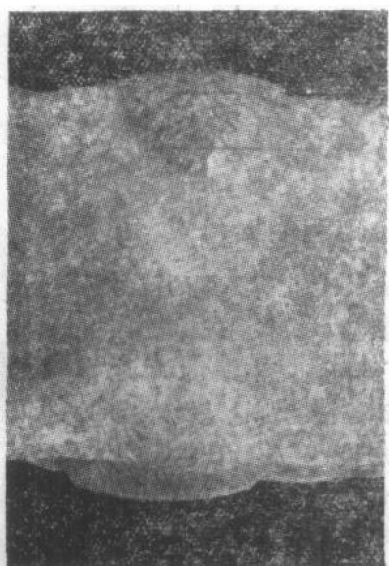


圖5. 多層鋸縫及其熱影響區的
宏觀組織

不完全重結晶區。离开焊缝的距离渐增，细晶粒区渐渐地轉到所謂不完全重結晶區。

这个区包括受热在 $720\sim850^{\circ}$ 範圍內的基本鋼。它的特征是松散的珠狀鐵的組織。通常这个区的宽度不大，并轉到正常構造的基本鋼上。同可見的鄰接焊缝区域相鄰的是藍热脆性区或时效区，这个区的热度不超过 $400\sim500^{\circ}$ 。

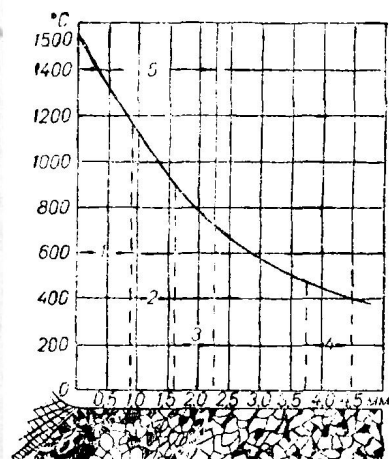


圖6. 熔劑下鋸接的角鋸縫的熱影響區
(鋼板厚度50公分；電流750安培；電
弧电压32伏特；鋸接速度24公尺/小時)；
1.粗晶粒区；2.細晶粒区；3.不完全重
結晶区；4.时效区；5.有可見的粗織變
化的鄰接鋸縫区。

§3. 施焊状况对焊缝的形状及组成的影响

熔剂下鋸接时焊缝的几何尺寸及形状的特征为熔透深度 h_n (圖7)、加强高度 h_y 、焊缝厚度H (等于熔透深度与加强高度的和)、宽度b以及相互关系 $\frac{b}{h_n}$ 和 $\frac{b}{h_y}$ 。 $\frac{b}{h_n}$ 叫形状系数，而

$\frac{b}{h_y}$ 决定加强的形状。

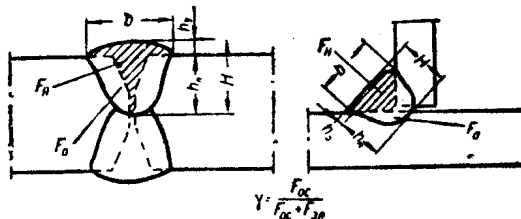


图7. 熔剂下焊接时焊缝的主要尺寸

焊缝钢由基本钢和焊条钢组成。熔化焊条钢的截面积用 F_{sn} 表示；基本钢熔化的面积用 F_{oc} 表示。基本钢在焊缝钢内的百分率用 γ 表示。在普通的施焊状况下焊缝内基本钢的百分率约为 55~70%。在很大程度内焊缝及焊连接的质量是由焊缝的形状和组成决定。变更施焊状况、削边形状、工作物在空间的位置及其他因素，可以在很广的范围内改变焊缝的形状及组成。

表2

施焊状况对焊缝的形状及组成的影响

| 对接焊缝 的特征 | 下列因素增大时焊缝特征的变化 | | | | | | |
|----------------|-----------------------|-----------|--------------|----------------------------|----------------|------------------|------------|
| | 焊接电流在 1200安培以 下 | 焊条 直 径 | 电 压 | 焊接速度 从10到40 公/小 时 | 间 隙 和 削 边 角 | 熔 溶 | |
| 熔透深度 | 激烈地增加 | 减 少 | 增 加 不很大 | 减 少 不很多 | 实际上 不起变化 | 有一 点 增 加 | 减 少 不很多 |
| 熔透宽度 | 增加不很大 | 增 加 | 增 加 | 激 烈 地 增 加 | 减 少 | 实 际 上 不 起 变 化 | 增 加 不很大 |
| 加强高度 | 激烈地增加 | 减 少 | 减 少 | 减 少 | 稍 微 增 加 | 减 少 | 减 少 不很多 |
| 形 状 系 数 | 激烈地减 少 | 增 加 | 激 烈 地 增 加 | 激 烈 地 增 加 | 减 少 | 实 际 上 不 起 变 化 | 增 加 |
| 基 本 钢 的 成 分 | 激烈地增加 | 减 少 | 增 加 不很大 | 激 烈 地 增 加 | 减 少 | | 减 少 不很多 |

表2表示鋸縫主要尺寸与施鋸狀況及施鋸条件的关系，此表根据实验資料編成。表內所列資料可以大大減輕選擇施鋸狀況及寻求消灭缺陷方法的困难。例如在鋸縫內發現不熔透，那末，很显然地應該增加熔透深度。为了这目的，按表內資料就必須增加电流、減少鋸条直徑或加大間隙。有燒穿現象时应減少电流。如加强过大，则应提高电弧电压、增加間隙或削邊角等。

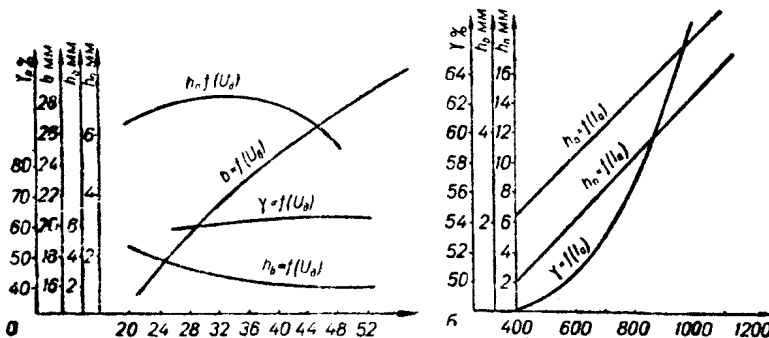


圖3. 鋸縫形狀與I—電弧電壓和I—電流的關係圖
(h_n —熔透深度; h_b —加強高度; h_o —熔透寬度;
 γ —在鋸縫鋼中基本鋼的百分率)。

圖8表示鋸縫尺寸、鋸縫組成及施鋸狀況之間相互的關係。

下面將較詳細地分析各種因素對鋸縫形狀的影響。

熔透深度。鋸縫的基本尺寸是熔透深度，它決定對接鋸縫的計算截面（大家知道，計算時是不計加強高度的）。計算角鋸縫的強度時是用鋸縫的厚度。熔透深度由一系列的因素決定，主要的因素如下：

电流。电流增加時，电弧壓力增加而电弧压进鋼的深处。基本鋼的熔化深度加大，因此熔透深度與电流大小的關係成正比。

电流密度。用減少鋸條直徑的方法增加在鋸條上的电流密度，可以使自燃點在熔池面上的徘徊減少，因此熔透深度增加。电流密度小時減少鋸條的直徑起显著的影響，而增加电流的絕對值時影響就較緩和。表3內所列資料可以說明這種現象。

表 3

| 焊条 直径 | 电 流 特 征 | 熔 透 深 度 (公厘) | | | | | | |
|----------|---------------|--------------|-----|-----|-----|-----|-----|-----|
| | | 3 | 4 | 5 | 6 | 8 | 10 | 12 |
| 5 | 电流 (安培) | 450 | 500 | 550 | 600 | 725 | 825 | 930 |
| | 电流密度(安培/平方公厘) | 23 | 26 | 23 | 31 | 37 | 42 | 47 |
| 4 | 电流 (安培) | 375 | 425 | 500 | 550 | 675 | 800 | 925 |
| | 电流密度(安培/平方公厘) | 29 | 35 | 40 | 44 | 53 | 64 | 73 |
| 2 | 电流 (安培) | 200 | 300 | 350 | 400 | 500 | 600 | 700 |
| | 电流密度(安培/平方公厘) | 64 | 104 | 127 | 143 | 157 | 200 | 224 |

电弧电压。在实际使用范围内变更电弧电压对熔透深度不起显著的作用。

在焊接削边的接缝时，变更电弧电压对基本钢的熔透深度可以起显著的影响，这将在以后叙述。

焊接速度。在20公尺/小时的速度以下降低速度时，熔透深度会略有减少，这是由于钢液向熔池后方挤出强度的减少造成的。增加速度由20到40公尺/小时，即在桥梁制造上应用的施焊状况范围内，实际上不影响熔透深度。多层焊接削边的接缝时，变更焊接速度可以显著地影响熔透深度，这将在以后叙述。

焊条伸出长度。从焊管嘴的接触点到焊条端部的一段叫做伸出长度。用直径4~5公厘的芯线焊接时，在实际可能范围内变更伸出长度时熔透深度影响很少。用直径2公厘的芯线焊接时，即使变更伸出长度只士5公厘，而对熔透深度就能起显著的影响；随伸出长度增加，熔透深度即激烈减少，而随伸出长度减少，熔透深度即增加。这是因为通过的电流使焊条端部的预热加强，所以使焊接电路内的电阻增加而电流减少。

电流种类和极性。假使采用牌号是AH-348和OOCU-45的熔剂，那末电流种类和极性对熔透深度有很重要的影响。如电流相同，反接极（负极在工作物上）焊接时的熔透深度将大大超过正接极（正极在工作物上）焊接的。这是由于在阴极和阳极上发出